



بررسی و مطالعه اثر جنس ابزار و مقدار جریان سیال دیالکتریک بر عملکرد فرآیند ماشین‌کاری تخلیه الکتریکی نیمه خشک

فریدون رجبی نسب^{۱*}، محمد جعفر حداد^۲، وحید عابدینی^۳، رمضانعلی حاجی قربانی^۴

۱- دانشجوی کارشناسی ارشد مهندسی مکانیک، گرایش ساخت و تولید، دانشگاه سمنان، سمنان

۲- استادیار دانشکده مهندسی مکانیک، گرایش ساخت و تولید، دانشگاه تهران، تهران

۳- استادیار دانشکده مهندسی مکانیک، گرایش ساخت و تولید، دانشگاه سمنان، سمنان

۴- مری دانشکده مهندسی مکانیک، گرایش ساخت و تولید، دانشگاه سمنان، سمنان

* سمنان، صندوق پستی ۳۵۱۳۱۹۱۱۱ Rajabinasab.f@semnan.ac.ir

چکیده

یکی از پرکاربردترین فرآیندهای ماشین‌کاری غیرسنتی، ماشین‌کاری تخلیه الکتریکی می‌باشد که برای ماشین‌کاری قطعاتی با سختی بالا، بخصوص در صنعت قالب‌سازی به طور گسترده مورد استفاده قرار می‌گیرد. در این پژوهش، فرآیند ماشین‌کاری تخلیه الکتریکی نیمه‌خشک به منظور بررسی تأثیر جنس ابزار و مقدار سیال دیالکتریک بر نرخ براده‌برداری، سایش ابزار، زبری سطح و توپوگرافی سطح مورد مطالعه قرار گرفته است. سه جنس ابزار (مس، کروم، مس-فلج) و سه سطح از نرخ سیال دیالکتریک استفاده شده است، تابیغ بدست آمده نشان می‌دهد که ابزار مس به دلیل رسانای حرارتی و الکتریکی بهتر، دارای نرخ براده‌برداری و سایش ابزار بیشتری می‌باشد. افزایش نرخ سیال دیالکتریک در هر سه سطح از انرژی تخلیه الکتریکی باعث نرخ براده‌برداری و سایش بالا شده است، همچنین در شدت جریان تخلیه الکتریکی بالا سطح قطعه کار ماشینکاری شده با ابزار مس-فلج زبری پایین‌تری دارد.

کلیدوازگان: ماشین‌کاری تخلیه الکتریکی، نرخ براده‌برداری، نرخ سایش ابزار، زبری سطح قطعه کار

Investigation and study of the tool material and the dielectric fluid rate effect on the performance of near dry electrical discharge machining

Fereydoon Rajabinasab^{1*}, Mohamadjafar Hadad², Vahid Abedini¹, Ramzan Ali Hajighorbani¹

1- Department of Mechanical Engineering, Semnan University, Semnan, Iran

2- Department of Mechanical Engineering, Tehran University, Tehran, Iran

* P.O.B. 3513119111 semnan, Iran, Rajabinasab.f@semnan.ac.ir

ABSTRACT

One of the most widely used non-traditional machining processes is electrical discharge machining (EDM) that is used for machining of parts with the high hardness such as die sinking. In this paper, the near-dry electrical discharge machining process has been studied to investigate the effect of the tool material and the dielectric fluid rate on material removal rate, tool wear rate, surface roughness and surface topography. Three tools material (copper, copper-chromium, and copper-tin) and three levels of dielectric fluid rate have been considered. The results showed that the copper tool has the higher material removal rate and the higher tool wear rate due to the higher thermal and electrical conductivity coefficient. Increase in dielectric fluid rate in all of the levels of electrical discharge energy causes the higher material removal rate and the higher tool wear. Also, in high current intensity of electrical discharge, the copper-tin tool has the lowest surface roughness.

Keywords: Electrical Discharge Machining, Material Removal Rate, Surface Roughness, Tool Wear Rate.

از مهمترین مشکلات و محدودیت‌های این فرآیند محسوب می‌شوند [۲۰، ۲۱]. برای غله بر این محدودیت‌ها، فرآیندهای دیگری بر پایه این فرآیند توسعه داده شده‌اند و هر کدام به نوعی از محدودیت‌های این فرآیند کاسته و بر قابلیت‌های آن می‌افزایند که از جمله‌ی توان به فرآیند ماشین‌کاری تخلیه الکتریکی با ارتعاشات التراسونیک، ماشین‌کاری تخلیه الکتریکی خشک و نیمه‌خشک و فرآیند ماشین‌کاری تخلیه الکتریکی با سیال دیالکتریک حاوی بودرهای ساینده اشاره کرد [۲۲]. ماشین‌کاری نیمه خشک اولین بار در سال ۱۹۸۷ توسط آقای تانیمورا و همکاران با استفاده از مخلوط آب، هوا، نیتروژن و آرگون مورد بررسی قرار گرفت [۲۳]. کاتو و همکاران به بررسی فرآیند پوش-کاری سیمی^۵ و سوراخ‌کاری تخلیه الکتریکی خشک، غوطه‌وری و نیمه خشک

5. Wire Cutting Machining

Please cite this article using:

F. Rajabinasab, M.J. Hadad, V. Abedini, R.A. Hajighorbani, Investigation and study of the tool material and the dielectric fluid rate effect on the performance of near dry electrical discharge machining, *Modares Mechanical Engineering, Proceedings of the Advanced Machining and Machine Tools Conference*, Vol. 15, No. 13, pp. 365-370, 2015 (in Persian)

یکی از روش‌های ماشین‌کاری غیرسنتی، ماشین‌کاری تخلیه الکتریکی است، که در آن فلز از سطح قطعه کار به کمک یکسری پالس‌های الکتریکی برداشته می‌شود. با توجه به تنوع عملیات انجام شده با استفاده از این روش، به عنوان یکی از مرسوم‌ترین روش‌های ماشین‌کاری غیرسنتی در صنعت شناخته می‌شود. علیرغم کاربردهای منحصر به فرد این فرآیند، نرخ براده‌برداری^۱ پایین، زبری سطح^۲ و نرخ سایش ابزار^۳ بالا و تشکیل لایه ریکست^۴ بر روی سطح قطعه کار (که محل عیوب و ترک بوده و استحکام قطعه کار را کاهش می‌دهد)

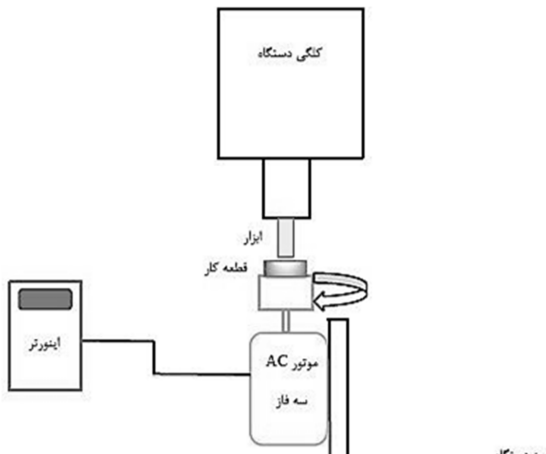
1. Material Removal Rate (MRR)

2. Surface Roughness (SR)

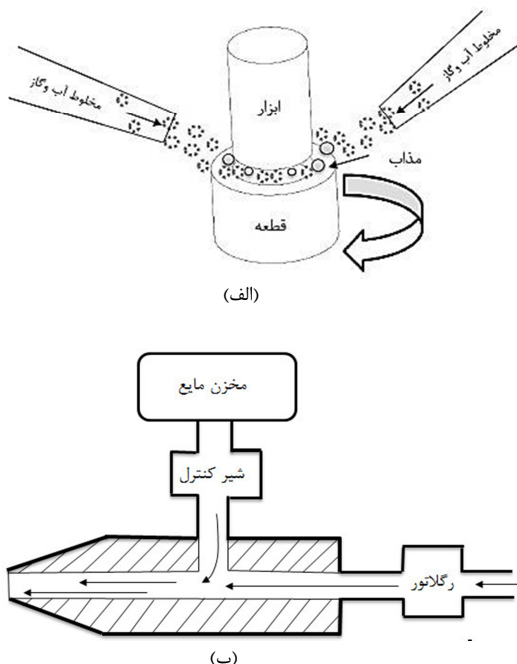
3. Tool Wear Rate(TWR)

4. Recast Layer

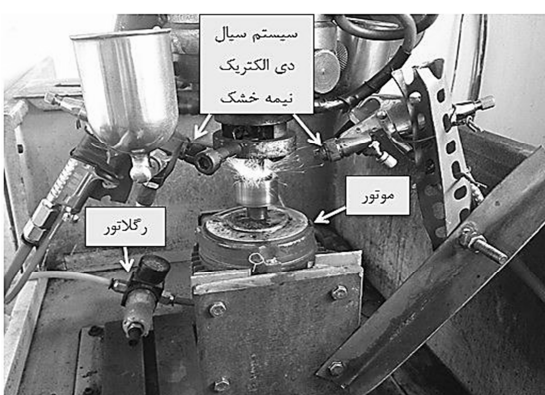
برای ارجاع به این مقاله از عبارت ذیل استفاده نمایید:



شکل ۱ نمایی از تجهیزات نصب شده بر روی دستگاه



شکل ۲ (الف) نمایی از پاشش مخلوط آب و گاز، (ب) پیستوله



شکل ۳ نمایی از آزمایش

پرداختند. آن‌ها بیان کردند که در ماشین کاری تخلیه الکتریکی خشک^۱ نرخ براده‌برداری بالا بوده و تیز بودن لبه برش در واپرکات و رسوبات باقی‌مانده (لایه ریکست) در مقایسه با ماشین کاری تخلیه الکتریکی غوطه‌وری کمتر است. در ماشین کاری تخلیه الکتریکی نیمه خشک^۲ با انرژی تخلیه کم، درصد نرخ براده‌برداری بیشتر بوده و فاصله گپ^۳ کوچک‌تر است. با این حال مکان‌های حرارتی بالاتر در الکترود ماشین کاری نیمه خشک قرار دارد که منجر به شکستن سیم در واپرکات و سایش الکترود ابزار در سوراخ کاری تخلیه الکتریکی می‌شود [۵]. تأثیر همکاران، سوراخ کاری تخلیه الکتریکی خشک و نیمه خشک با مخلوط آب با اکسیژن، نیتروژن و هلیوم ارائه دادند وی از اکسیژن برای عمل خشن کاری و استفاده از مخلوط آب و نیتروژن برای عمل پرداخت کاری استفاده کردند، آن‌ها اعلام کردند که ماشین کاری نیمه خشک با کیفیت سطح بالا مناسب برای پرداخت کاری است [۶].

در این پژوهش، فرآیند ماشین کاری تخلیه الکتریکی نیمه خشک به منظور بررسی تأثیر جنس ابزار و مقدار سیال دیکتریک بر نرخ براده‌برداری، سایش ابزار، زیری سطح و توپوگرافی سطح مورد مطالعه قرار گرفته است. سه جنس ابزار (مس، مس-کروم، مس-قلع) و سه سطح از نرخ سیال دیکتریک استفاده شده است.

۲- شرایط تجربی آزمایش

۲-۱- تجهیزات مورد نیاز برای انجام آزمایش

جهت انجام تست‌ها از دستگاه اسپارک پیشرانه مدل ۵۱ با ژنراتور ایزوپالس استفاده شده است. به علت ثابت بودن کلگی دستگاه اسپارک و قادر نبودن چرخش ابزار، قطعه‌کار در این آزمایش تحت دوران قرار می‌گیرد. بدین منظور از یک موتور AC سه فاز و اینورتر جهت تامین دوران قطعه‌کار استفاده شده است، که در شکل ۱ نمایش داده شده است. برای تامین مخلوط آب و گاز به عنوان سیال دیکتریک به فاصله گپ در فرآیند ماشین کاری تخلیه الکتریک نیمه خشک با توجه به عدم عبور سیال دیکتریک از داخل ابزار به منظور بهبود عمل شست و شو دور کردن براده‌ها از گپ ماشین کاری دو عدد پیستوله در دو طرف قطعه کار در حال چرخش قرار داده شده است. یک رگلاتور برای تنظیم فشار گاز و یک شیر کنترل برای تنظیم جریان سیال دیکتریک به کار گرفته شده است، در شکل ۲ و ۳ نمایی از پاشش مخلوط آب و گاز، پیستوله و همچنین نمایی از آزمایش نشان داده شده است.

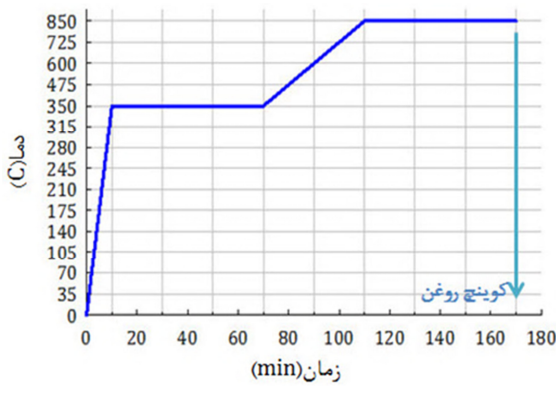
۲-۲- قطعه کار و ابزار

قطعه کار مورد استفاده در این مطالعه فولاد استوانه‌ای از جنس AISI4140 (42CrMo4) است که سطوح پیشانی آن سنگزنانی و پرداخت کاری شده و قطر ۲۵ میلی‌متر و اتفاق ۲۰ میلی‌متر دارد که در صنعت به طور وسیعی مورد استفاده قرار می‌گیرد. قطعه کار جهت سخت ساخت کاری، عملیات حرارتی شده و سختی 50 ± 2 راکول دارد، شکل ۴ نمودار عملیات حرارتی قطعه کار را نشان می‌دهد. آلیاژهای مس موجود در بازار به عنوان ابزارهای مورد مطالعه می‌باشند. قطر ابزار مس، مس-کروم، مس-قلع به کار گرفته در این آزمایش ۱۵+۰/۵ است. جداول ۱، ۲، ۳، ۴، ۵ به ترتیب ترکیبات قطعه کار مورد مطالعه، خواص فیزیکی مس، کروم، قلع و AISI4140 و آنالیز XRF ابزارهای مورد مطالعه را نشان می‌دهند.

1. Dry Electrical Discharge Machining

2. Near Dry Electrical Discharge Machining

3. Gap



شکل ۴ نمودار عملیات حرارت قطعه کار

تخلیه الکتریکی، نرخ سیال دیکتریک و زمان روشنی و خاموشی پالس به عنوان پارامترهای متغیر در نظر گرفته شده است. جدول ۶ شرایط آزمایش را نشان می‌دهد. جهت افزایش سرعت براده‌برداری زمان روشنی پالس بیشتر از زمان خاموشی پالس قرار گرفته. زمان روشنی و خاموشی پالس در هر شدت جریان تخلیه الکتریکی متفاوت می‌باشد. به خاطر شرایط و محدودیت سطح مقطع ابزار و شدت جریان تخلیه الکتریکی عبوری از آن که در کاتالگ دستگاه اسپارک پیشرانه جهت تنظیم زمان های روشنی و خاموشی پالس آمده است بهمنظور جلوگیری از پیده‌ی آرک^۱ ناچار به گرفتن زمان روشنی و خاموشی پالس متفاوت در هر شدت جریان تخلیه الکتریکی شده. ولتاژ گپ، سرعت دورانی قطعه کار، فشار گاز و قطب الکترود به عنوان پارامترهای ثابت می‌باشند، که در جدول ۷ پارامترهای ثابت آزمایش آمده است. آب دیوئیز به عنوان سیال دیکتریک در ماشین کاری تخلیه الکتریکی نیمه خشک می‌باشد، هواشترده که با کمپرسور تامین شده به عنوان گاز مصرفی بوده و زمان انجام هر تست ۲۰ دقیقه در نظر گرفته شده است. برای اندازه گیری نرخ براده‌برداری و نرخ سایش ابزار از ترازوی ساتوریس^۲ با دقت ۰/۰۰۱ گرم استفاده شده. وزن قطعه کار و ابزار قبل و بعد از انجام تست اندازه گیری شده. نرخ براده‌برداری (MRR) و نرخ سایش ابزار (TWR) با معادلات (۱) و (۲) بدست می‌آیند [۸].

$$(1) \quad \text{نرخ براده برداری} = \frac{\text{مقدار ماده برداشته شده از قطعه}}{\text{زمان ماشین کاری}} \quad (\text{میلی گرم بر دقیقه})$$

$$(2) \quad \text{نرخ سایش ابزار} = \frac{\text{مقدار ماده برداشته شده از ابزار}}{\text{زمان ماشین کاری}} \quad (\text{میلی گرم بر دقیقه})$$

زیری سطح نمونه قطعه کار ماشین کاری شده با زیری سنج مدل ماهر مارسوف PS1^۳ اندازه گرفته شده است.

۳- نتایج و بحث

۱-۳- نرخ براده برداری

در شکل ۵ نشان می‌دهد که در هر سه سطح از شدت جریان تخلیه الکتریکی ابزار مس بهتر عمل می‌کند، ابزارهای مس-کروم، مس-قلع به دلیل مقاومت الکتریکی^۴ بالایی که عنصر کروم و قلع مخلوط در آنها دارد، نرخ براده‌برداری

جدول ۱ ترکیبات قطعه کار مورد مطالعه [۷]

عنصر	C	Mn	P	Si	Cr	Mo	Fe
درصد	۰/۳۸	۰/۷۵	۰/۰۳۵	۰/۰۴	۰/۸	۰/۱۵	تعادل
وزنی	۰/۴۳	۱	۱	۱/۱	۰/۳۵		

جدول ۲ خواص فیزیکی مس، کروم، قلع و AISI4140

AISI4140	قلع	کروم	مس	وزن مخصوص (g/cm ³)
۷/۸۵	۵/۷۶	۷/۱۹	۸/۹۶	
۱۴۱۶	۲۲۲	۱۹۰۷	۱۰۸۴	نقطه ذوب (°C)
۲۲۲	۱۱۵	۱۱۸	۱۵/۴۳	مقاومت الکتریکی (mΩm)
۰/۴۷	۰/۲۱	۰/۴۶	۰/۳۹	گرمای ویژه (kJ/kg k)
۴۲/۶	۶۷	۹۴	۴۰/۱	رسانای حرارتی (W/mk)

جدول ۳ آنالیز XRF ابزار مس

عنصر	درصد وزنی
Cu	۹۹/۴۴
Sb	۰/۰۰۷
Sn	۰/۰۰۶
Ca	۰/۰۲
S	۰/۰۲۵
Cl	۰/۰۲۶
Mg	۰/۴۷

جدول ۴ آنالیز XRF ابزار مس-کروم

عنصر	درصد وزنی
Cu	۹۷/۵۲۴
Cr	۰/۷۹۵
S	۰/۲۰۱
K	۰/۰۳۹
Ca	۰/۰۷۱
Fe	۰/۰۸۴
Si	۰/۱۵۳
Cl	۰/۲۲۴
Al	۰/۹۰۹

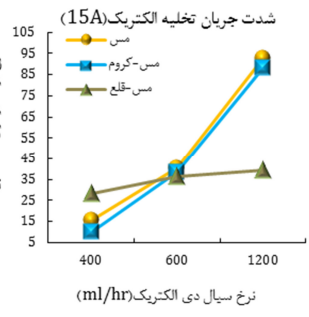
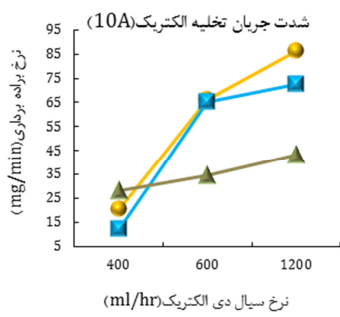
جدول ۵ آنالیز XRF ابزار مس-قلع

عنصر	درصد وزنی
Cu	۸۶/۴۷۲
Sn	۱۲/۲۸۶
S	۰/۱۱۵
Si	۰/۰۴۹
Fe	۰/۰۶۴
Al	۰/۰۶۹
Cl	۰/۱۲۶
Zn	۰/۸۱۹

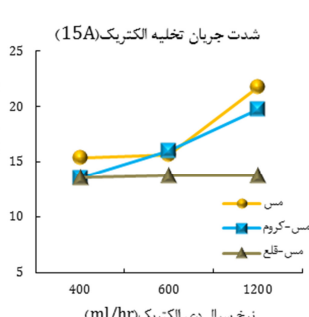
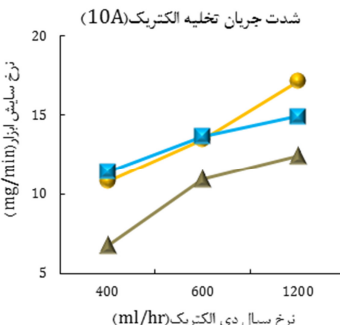
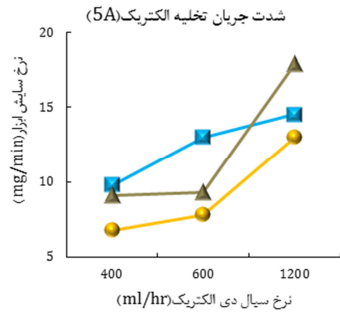
۲-۳- شرح آزمایش

این مطالعه به بررسی تاثیر جنس ابزار و مقدار سیال دیکتریک بر عملکرد فرآیند ماشین کاری تخلیه الکتریکی نیمه خشک پرداخته است. شدت جریان

1. Arc
2. Sartorius
3. Mahr Marsurf PS1
4. Electrical resistivity



شکل ۵ نمودار بررسی نرخ براوه برداری



شکل ۶ نمودار بررسی نرخ سایش ابزار

جدول ۶ شرایط آزمایش

پارامترها	مقادیر
شدت جریان تخلیه الکتریک (A)	۱۵
زمان روشنی پالس (μs)	۵۰
زمان خاموشی پالس (μs)	۲۵
نرخ سیال دی الکتریک (ml/hr)	۱۲۰۰
نرخ براوه برداری (mg/min)	۶۰۰
نرخ افزایش (ml/hr)	۴۰۰

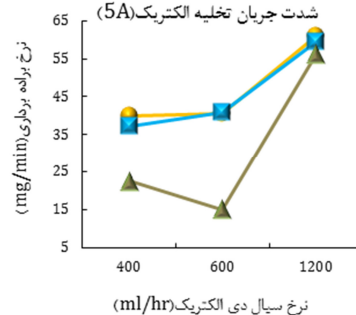
جدول ۷ پارامترهای ثابت آزمایش

پارامترها	مقادیر
سرعت دورانی قطعه کار (rpm)	۶۰۰
فشار گاز (bar)	۱
ولتاژ گپ (V)	۳۰
قطب الکترود	[+]

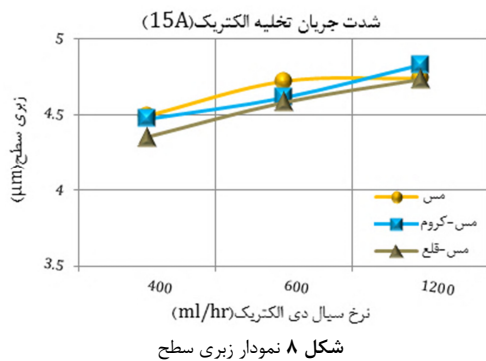
کمتری دارند. به خاطر درصد ناچیز کروم موجود در ابزار مس-کروم این ابزار بهتر از مس-قلعه است. قلع عمل می‌کند. اگرچه استفاده از زنریتور آیزوپالس، زمان تاخیر جرقه تاثیری بر زمان روشنایی پالس و مقدار انرژی هر جرقه ندارد، ولی افزایش زمان تاخیر جرقه موجب افزایش زمان غیر ماشین کاری شده و نرخ براده برداری را کاهش می‌دهد [۸]. با افزایش مقدار سیال دی الکتریک در هر سه سطح از تخلیه الکتریکی و هر سه ابزار، به علت دور کردن بهتر آلدگی-آرک کمتر شده و میزان نرخ براده برداری افزایش می‌یابد.

۳- نرخ سایش ابزار

مقاومت الکتریکی بالای عنصر کروم موجود در ابزار مس-کروم، سبب می‌شود که الکترون‌ها به اتم‌های سازنده آن برخورد کرده و منجر به گرم شدن ابزار و از دست دادن اتم‌های آن شود. به همین دلیل ابزار مس-کروم در تمام سه سطح از تخلیه الکتریکی سایش بیشتری از ابزار مس-قلعه دارد که در شکل ۶ نشان داده شده است. در حالی که ابزار مس در انرژی تخلیه الکتریکی پایین به دلیل رسانایی حرارتی^۱ و چگالی^۲ بالاتر، میزان سایش کمتری دارد. در شدت جریان تخلیه الکتریکی بالا به علت نرخ براده برداری بالاتر ابزار مس نسبت به سایر ابزارها میزان نرخ سایش ابزار افزایش یافته است. با افزایش نرخ سیال دی الکتریک در هر سه سطح از شدت جریان الکتریکی سایش ابزار افزایش می‌یابد. عنصر قلع به خاطر رسانایی حرارتی پایین، نمی‌تواند شوک‌های حرارتی را از خود عبور دهد که این امر باعث سوختگی ابزار مس-قلعه می‌شود که در شکل ۷ نشان داده شده است.



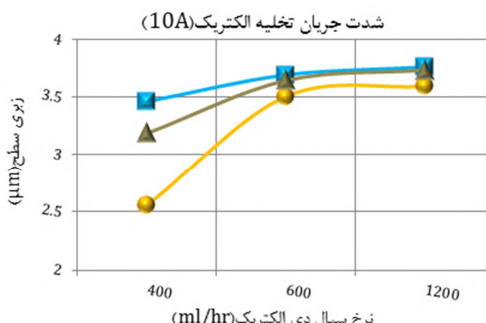
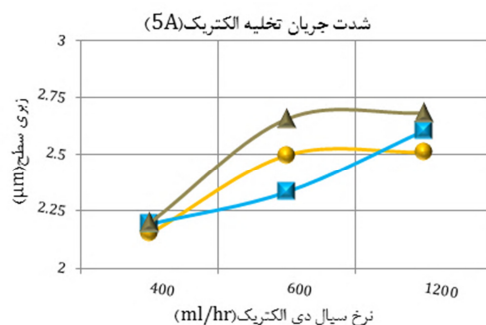
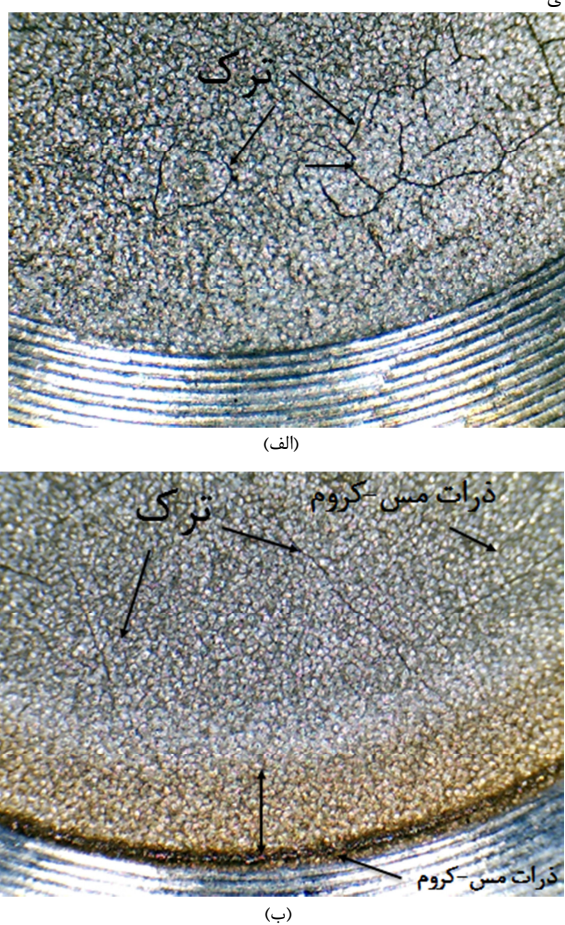
1. Termal conductivity
2. Density

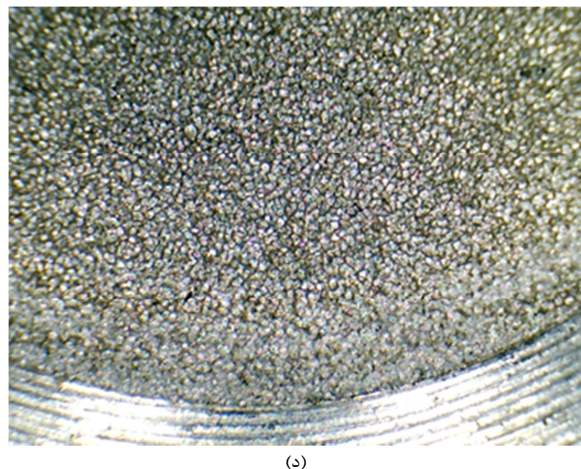


شکل ۷ سوختگی ابزار مس-قلع

۳-۳- زیری سطح

شکل ۸ زیری سطح حاصل از سه ابزار مس، مس-کروم، مس-قلع را در فرآیند ماشین کاری تخلیه الکتریکی نیمه خشک نشان می‌دهد. ابزار مس-قلع در سطوح تخلیه انرژی پایین به علت مقاومت الکتریکی بالا و عبور ندادن جریان الکتریکی یکنواخت، باعث ایجاد تخلیه الکتریکی نامنظم شده که این امر باعث می‌شود که در سطح قطعه کار حفره‌هایی غیریکنواخت و خشن ایجاد شود که زیری سطح آن نسبت به ابزار مس، مس-کروم بیشتر شده است. ابزار مس و مس-کروم به خاطر انتقال یکنواخت انرژی الکتریکی به سطح قطعه کار و ایجاد حفره‌هایی کوچک زیری سطح قطعه کار کاهش یافته است. در ابزار مس-قلع با افزایش آمپر قدرت جریان الکتریکی بر مقاومت الکتریکی ابزار غلبه کرده و تخلیه الکتریکی منظم شده، لذا زیری سطح به علت منظم شدن حفره‌ها و عمق کمتر آن‌ها رو به کاهش می‌باشد. در همه ابزارها با افزایش نرخ سیال دی الکتریک زیری سطح افزایش یافته چون نرخ براده-برداری و مقدار ماده برداشته شده از قطعه کار با افزایش سیال دی الکتریک بیشتر می‌شود و آلدگی گپ زیاد شده و احتمال پالس غیرطبیعی مانند آرك بالا رفته در نتیجه زیری افزایش یافته است.





(d)

شکل ۹ عکس از سطح، (الف) قطعه کار ماشین‌کاری شده با ابزار مس در ۵ آمپر، نرخ سیال دیکتریک ۱۲۰۰ میلی لیتر بر ساعت (ب) قطعه کار ماشین‌کاری شده با ابزار مس - کروم در ۵ آمپر، نرخ سیال ۱۲۰۰ دیکتریک میلی لیتر بر ساعت (د) قطعه کار ماشین‌کاری شده با ابزار مس - قلع در ۵ آمپر، نرخ سیال دیکتریک ۱۲۰۰ میلی لیتر بر ساعت

- ۱- نرخ برادهبرداری ابزار مس بیشتر از ابزار مس - کروم و ابزار مس - کروم بیشتر از مس - قلع می باشد، به دلیل خواص فیزیکی عناصر مس، کروم و قلع موجود در آن ها همچنین با افزایش نرخ سیال دیکتریک بخاطر دور کردن بهتر آلودگی ها و پدیده آرک کمتر نرخ براده برداری افزایش یافته است.
- ۲- سایش ابزار مس - کروم بیشتر از مس - قلع و ابزار مس بیشتر از مس - کروم است. افزایش سیال دیکتریک باعث سایش بالای ابزار شده است.
- ۳- در شدت جریان تخلیه الکتریکی بالا ابزار مس - قلع زیری سطح بهتری نسبت به ابزارهای مس و مس - کروم دارد، نرخ سیال دیکتریک بالا به دلیل افزایش نرخ برادهبرداری، زیری سطح قطعه کار افزایش یافته است.

۵- مراجع

- [1] J. Simao, H. G. Lee, D. K. Aspinwall, R. C. Dewes, E. M. Aspinwall, Workpiece surface modification using electrical discharge machining, *International Journal of Machine Tools & Manufacture*, Vol. 43, pp. 121-128, 2003.
- [2] B. Jabbaripour, M. H. Sadeghi, M. R. Shabgard, Sh. Faridvand, Investigating the effects of tool materials on the properties of electrical discharge machining of γ -TiAl intermetallic, *Modares Mechanical Engineering*, Vol. 11, No. 2, pp. 135-146, 2011. (In Persian)
- [3] N. M. Abbas, D. G. Solomon, M. F. Bahari, A review on current research trends in electrical discharge machining (EDM), *International Journal of Machine Tools & Manufacture*, Vol. 47, pp. 1214-1228, 2007.
- [4] J. Tao, *Investigation of dry and near-dry electrical discharge machining processes*, 2008.
- [5] C. C. Kao, J. Tao, A. J. Shih, Near dry electrical discharge machining, *International Journal of Machine Tools & Manufacture*, Vol. 47, pp. 2273-2281, 2007.
- [6] J. Tao, A. J. Shih, J. Ni, Experiment Study of the Dry and Near-Dry Electrical Discharge Milling Processes, *ASME Journal of Manufacturing Science and Engineering*, Vol. 130, pp. 1-9, 2008.
- [7] M. H. Sadeghi & M. J. Hadad & T. Tawakoli & A. Vesali & M. Emami, An investigation on surface grinding of AISI 4140 hardened steel using minimum quantity lubrication-MQL technique, *International Journal Mater Form*, Vol. 3, pp. 241-251, 2010.
- [8] A. Gholipoor, H. Baseri, M. Shakeri, Experimental investigation of near dry EDM process, *Modares Mechanical Engineering*, Vol. 99, No. 9, pp. 9-99, 9999, 2013. (In Persian)